

**58107.1 —  
2018**



2018

1 . . . . . » ( « ») - -

2 332 « , -

3 8 21 2018 . No 626- -

4

29 2015 . 162- « 26 -

) ( ) « ( » 1 -

« » -

» . , -

(www.gost.ru)

General use automobile roads fighting. Norms and methods of calculation

— 2019—03—01

1

( — )

2

8

33175

33382

54984

55392

55708

56228

58107.2

58107.3

—

».

1

« -

	«	»	.	,	-
	,	.	,	,	( )
	,	,	,	,	-
	,	,	.	,	-
<b>3</b>					
			55392.	56228.	
3.1	$L$ ,	$\sim^2$ :			-
	( )	,		(	-
)					
3.2		:	,		-
	1,5			,	-
	(1.0 ± 0,5)°			,	-
3.3		$L$ ,	$\sim^2$ :		-
				,	-
3.4		$U_o$ :			-
1.	$L$ .				-
3.5		$U$ :			-
	£		$L_{\text{Макс}}$ ,		-
3.6		$E_h$ :			-
				,	-
3.7		£ ,	:		-
				,	-
3.8		$U_h$ :			-
	£		$E_h$ :		-
3.9		77, %:			-
	( )				-
3.10			SR:		-
				,	-
3.11			:	,	-
				,	-
					-
1	30 %.		3000		-
	70000		8000		-
2				60	-
					-
3.12			:	,	-
				,	-
				(	-
				)	-
3.13		MF:			-
				,	-
				,	-

4

4.1

4.1.1

L.  $U_Q$   $U_h$   $E_h$   $TI$   $66^\circ$   $U_h$  SR

4.1.2

1

33362	t. Wm <sup>2</sup> .	" -			Tt.%,	
1	1.6	0.40	U, 7 U	20	0,35	10
1	1.2			15		
IB. II	1.0		0.60	10	8.0	0,25
111	0.80	0.35	0.50			
IV	0.60		0.40			
V	0.40					

4.1.3

4.1.4

10

4.1.5

20

65 50, 30 10 1 80°. 85° 90°

10

4.1.6

4.1.7

4.1.8

54984. I II  
30 % 50 %  
1/3 1/5

4.1.9

4.1.10

MF.

- 0.7 —
- 0,75 —
- 0.8 —

4.1.11

$$D_{p'} / 2$$

$D_p$

4.2

4.2.1

$U_h$

2.

2

	- .	
• 1. II; - III. IV	15 10	0.25
	10	0.10
	20	0.25
	6.0	0.10

4.2.2

30

1

4.2.3

(

4.2.4

10

1.3

10

4.3

4.3.1

$E_h$

(

1.3

— 10

$U_h$

0.30.

( )

4.3.2

$E_h$

3.

$U_h$

3

• : • * • *	50 20 20	0.20
• : •	50 20	
10 . 20 . — , -		

8  $U_h$  — 0,10.  $E_h$  10 . -  
15°. \*

4.4

4.4.1

$U_{h'}$  4.

4

• *: •	5.0 10	0.30
	4.0	020

4.4.2  
60

5

5.1

5.1.1

5.1.2

55708.

55708.

5.1.3		$L$	$E_h$	77	-
	$MF$ , 1.	$MF$ .			
5.2					
5.2.1		$L, / ^2.$			-
/ — 55708; , / .					
	—	55708;			
	—	, "1.			55708;
	$MF$ —	; ;			
	—	;			
5.2.2			$Lp, / ^2.$		-
		,			
					(2)
$L_k$ —		fc-ro .	(1).		
5.2.3		$L, / ^2.$	,	$N_o$	
			$N$ .		(3)
			l-t		
$L,$ —			(2).		
5.2.4			$U_o$		-
		,			
			$L$		(4)
5.2.5			$U,$		
		,		$t_{min}$	-
$L_{max}$		,			(5)
5.2.6		TI. %.			
		55708.			
		/			-
		$L$			(6)
—					
—				(9).	0.20.
5.3					
5.3.1		$E_h$ .			



$$1/\cos^3\theta \quad MF$$

→ (7)

MF —  
5.3.2

55708;

$E_{hk}$  —  
5.3.3

$$\sum_{k=1}^{N_h} E_{h,k}$$

(8)

(7).

$E_{h'}$

$N_Q$

$$\bar{E}_h = \frac{1}{N_Q} \sum_{i=1}^{N_h} E_{h,i}$$

(9)

$E_{hj}$  —  
5.3.4

>

(8).

$U_h$

$$U_h \gg E_{bfin} t$$

(10)

$E_{hmin}$  —  
5.3.5

SR

(11)

$E_{su}$  —

(9)

SR

SR

## 6

6.1

6.2

58107.3

(t. 1/ , )

) 66°

( ,  $U_h$ )  
SR

58107.2.

58107.2

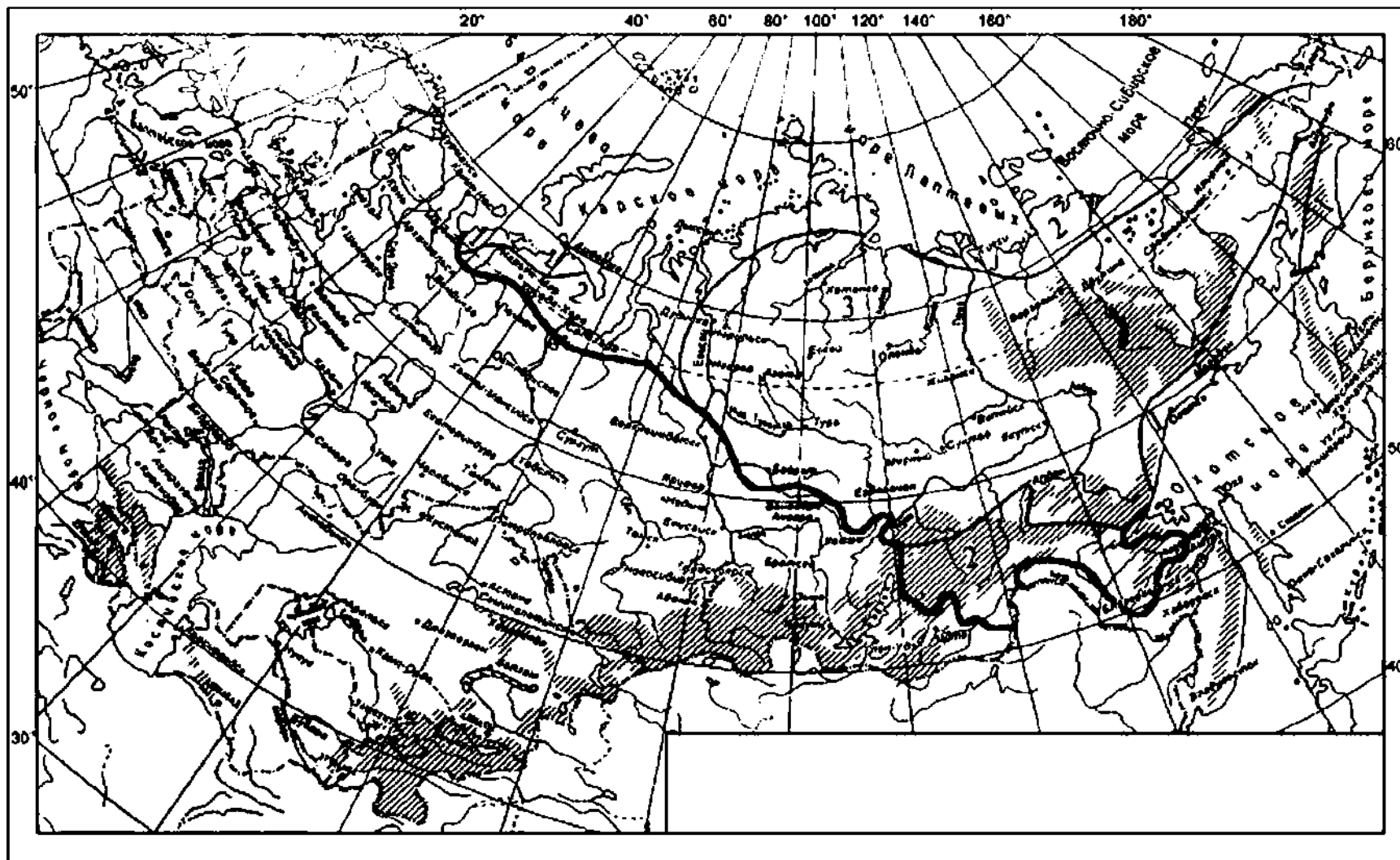
6.3

5.2.6

33175.

( )

Схематическая карта северной строительно-климатической зоны



( )

55708.  $D_p / 2$

15

» • ( .1)

, — /- . :  
 — ;  
 ( — , 2;  
 , — - 5.3. ;  
 — , —  $D_0$  —  
 ( )  
 ( )  
 .1  
 ( ) ;  
 , — ( )  
 ,

"JH" in « — — / «		XXX XX 1
1 \ XXXX		XXX 1
< »	XXIX XXX X X\ X XX X X UC X X X ' ,	XXX XXX XXX
*	X X	XXX XXX XX
it?		
it:	14 ' X' X Jt k lt Mi, « 5 5 5 5 ^ 5 5 5 5 1	

*Pa*

~ : , : } — :  
 « »

$$D_p = \frac{P_R - A_{FI} \cdot E_{pR}}{E_{fiAff} + \frac{\wedge}{+ E_{pf}(A_{fR})}} \quad (.2)$$

721:535.241.46:006.354

: 93.080.40

( ), ; ( ), , ,

5—2018/71

24.03.2016.

04.10.2016.

60\*64'/g

. . . 1.40 - . . . 1.26

« >17416 . - . . 31. . 2.

www.gostinfo.ru intro@gostinfo.ru